

## Bibliografia

- [1] API STD 617 7<sup>th</sup> EDITION. **Axial and Centrifugal Compressors and Expander-compressors for petroleum, chemical and gas industry services**. Standard 7<sup>th</sup> edition, America Petroleum Institute, Washington DC, USA, 2002.
- [2] ALLAIRE, PAUL E. **Introduction to journal bearing design for turbomachinery**. 16<sup>th</sup> turbomachinery symposium, Texas A & M University, USA, 1987.
- [3] ALLAIRE, PAUL E., NICHOLAS, J. **Curso de Mancais para Turbomáquinas**. Centro de Ensino Sul/Sudeste, PETROBRAS, volume I, Rio de Janeiro, março 1994.
- [4] ALLAIRE, PAUL E., NICHOLAS, J. **Curso de Mancais para Turbomáquinas**. Centro de Ensino Sul/Sudeste, PETROBRAS, volume II, Rio de Janeiro, março 1994.
- [5] AVITABILE, P. **Experimental Modal Analysis**. Journal of Sound and Vibration, p. 1–11, January 2001.
- [6] BERGER, S., BONNEAU, O., FRÊNE, J. **Influence of Axial Thrust Bearing on the Dynamic Behavior of an Elastic Shaft: Coupling Between the Axial Dynamic Behavior and the Bending Vibrations of a Flexible Shaft**. Journal of Vibration and Acoustic, p. 145-149, April 2001.
- [7] BROCKETT, T. **Thermohydrodynamic Lubrication in Thrust Bearing**. PhD thesis, School of Engineering and Applied Science, University of Virginia, USA, 1994.
- [8] CHILDS, DARA W. **Turbomachinery Rotordynamics, Phenomena, Modelling, & Analysis**. John Wiley & Sons, Inc., 605 Third Avenue, New York, NY 10158 – 0012.

- [9] DIMAROGONAS, A.D. **Vibration for Engineers**. Prentice-Hall Inc., USA, 1996.
- [10] ANDREW D. DIMAROGONAS, S. A. PAIPETIS. **Analytical Methods in Rotor Dynamics**. Applied Science Publishers, Ripple Road, Barking, Essex, England, 1983.
- [11] R. GASCH, R. NORDMANN, H.PFÜZNER. **Rotordynamik**. Springer-Verlag, Berlin, Deutschland, 2006.
- [12] HATCH, MICHAEL R. **Vibration Simulation Using Matlab and Ansys**, Chapman and Hall/CRC, Boca Raton, Florida 33431, SA, 2001.
- [13] JIMIM H., ZHI-FANG F. **Modal Analysis**, Butterworth-Heinemann, Linacre House, Jordan Hill, USA, 2001.
- [14] HUGHES, THOMAS J. R. **The Finite Element Method. Linear Static and Dynamic Finite Element Analysis**. Dover Publications Inc, Mineapolis, USA, 1987.
- [15] INMAN, D. J. **Engineering Vibration**. Prentice Hall, Englewood Cliffs, New Jersey 07632, 1996.
- [16] WANG W., KIRKHOPE, J . **New Eigensolutions and Modal Analysis for Gyroscopic/Rotor Systems, Part1: Undamped Systems**. Journal of Sound and Vibration, vol. 175, pages 159-170, Academic Press Ltd, February, 1994.
- [17] W. WANG, KIRKHOPE, J . **New Eigensolutions and Modal Analysis for Gyroscopic/Rotor Systems, Part2: Perturbation Analysis for Damped Systems**. Journal of Sound and Vibration, vol. 175, pages 171-183, Academic Press Ltd, February, 1994.
- [18] LALANNE, M., FERRARIS, G. **Rotordynamics, Prediction in Engineering**. John Wiley & Sons Ltd, Bafins Lane, Chichester, West Sussex, PO191UD, England, 1990.
- [19] KREYSZIG, E . **Advanced Engineering Mathematics**. John Willey & Sons, USA, 2006.
- [20] NUNO M.M. MAIA, J. M. S. **Theoretical and Experimental Modal Analysis**, 1997.
- [21] MEIROVITCH, L . **Principles and Techniques of Vibration**. Prentice Hall, Upper Saddle River, New Jersey 07458, USA, 1997.

- [22] MEIROVITCH, L . **Elements of Vibration Analysis, Second Edition**. McGraw-Hill Book Company, USA, 1989.
- [23] MITTWOLLEN, N, HEGEL, T., GLIENICKE, J. **Effect of Hydrodynamic Thrust Bearings on Lateral Shaft Vibrations**. Journal of Tribology, vol.113, p. 811-818, October, 1991.
- [24] NELSON, H.. **A finite rotating shaft element using timoshenko beam theory**. Journal of Mechanical Design, p. 793–803, October 1980.
- [25] RITTO, T. G. **Análise de Vibrações de Sistemas Lineares e Não-Lineares no Contexto da Formulação Fraca Análise Modal e Decomposição de Karhunen-Lòeve**. MSc Thesis, Departamento de Engenharia Mecânica, PUC-Rio, Rio de Janeiro, RJ, Brasil, 2006.
- [26] RODRIGUEZ, P.. **Effect of Tilting Pad Thrust Bearing on Rotor Stability and Forced Response**. PhD Thesis, School of Engineering and Applied Science, University of Virginia, USA, 2000.
- [27] LECKAR H., SAMPAIO R . **Aspectos Matemáticos de Vibrações**. Pontifícia Universidade Católica do Rio de Janeiro, Rua Marquês de São Vicente, 225, CEP 22453-900, Rio de Janeiro, 2005.
- [28] SANT'ANNA R., WEBER H., MATTOS W . **Case study of a Catastrophic Thrust Bearing Failure in a Blower due to Axial Ressonance**. 7<sup>th</sup> IFToMM Conference on Rotor Dynamics, Vienna, Austria, p. 10, September 2006.
- [29] SHABANA, AHMMED A. **Theory of of Vibration, Volume II: Discrete and Continuous Systems** . Springer-Verlag New York, USA, 1995.
- [30] STRANG, G. **Linear Algebra and Its Aplications, Fourth Edition**. Thompson Brooks/Cole, Belmont California, USA, 2006.
- [31] TIMOSHENKO S. P., GOODIER J. N. **Theory of Elasticity, Thrid Edition**. McGraw-Hill International Editions, USA, 1970.
- [32] YU, J. **Axial Vibration due to Thrust Bearing and its Elimination**. 7<sup>th</sup> IFToMM Conference on Rotor Dynamics, Vienna, Austria, p. 9, September 2006.

## A Anexos

### A.1 Energia Cinética Devido à Rotação

#### A.1.1 Velocidade Angular

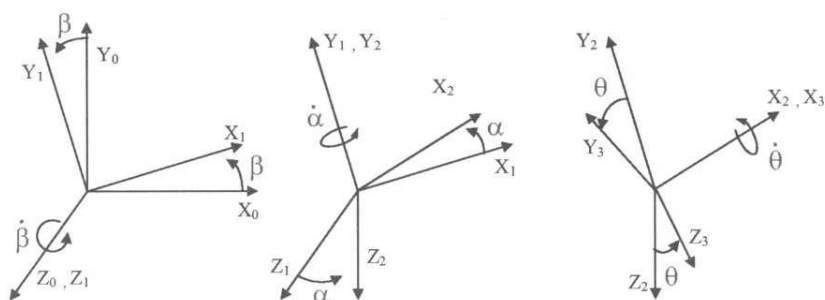


Figura A.1: Sistemas de Referências

Sistemas de Referências.

$(X_0, Y_0, Z_0)$  —> sistema inercial;

$(X_1, Y_1, Z_1)$  —> sistema vinculado ao referencial 1 (rotação  $\dot{\beta}$ );

$(X_2, Y_2, Z_2)$  —> sistema vinculado ao referencial 2 (rotação  $\dot{\alpha}$ );

$(X_3, Y_3, Z_3)$  —> sistema vinculado ao referencial 3 (rotação  $\dot{\theta}$ );

Matrizes de Transformação. Transformação do referencial inercial para o referencial 1.

$${}^1T_0 \begin{bmatrix} \cos(\beta) & \text{sen}(\beta) & 0 \\ -\text{sen}(\beta) & \cos(\beta) & 0 \\ 0 & 0 & 1 \end{bmatrix}. \quad (\text{A-1})$$

Transformação do referencial 1 para o referencial 2.

$${}^2T_1 \begin{bmatrix} \cos(\alpha) & 0 & -\text{sen}(\alpha) \\ 0 & 1 & 0 \\ \text{sen}(\alpha) & 0 & \cos(\alpha) \end{bmatrix}. \quad (\text{A-2})$$

Transformação do referencial 2 para o referencial 3.

$${}^3T_2 \begin{bmatrix} 1 & 0 & 0 \\ 0 & \cos(\theta) & \text{sen}(\theta) \\ 0 & -\text{sen}(\theta) & \cos(\theta) \end{bmatrix}. \quad (\text{A-3})$$

Velocidades Angulares. Velocidade do referencial 1 em relação a 0, no sistema de coordenadas 1.

$${}^1({}_1\omega_0) = \begin{bmatrix} 0 \\ 0 \\ \dot{\beta} \end{bmatrix}. \quad (\text{A-4})$$

Velocidade do referencial 2 em relação ao 1, no sistema de coordenadas 2.

$${}^2({}_2\omega_1) = \begin{bmatrix} 0 \\ \dot{\alpha} \\ 0 \end{bmatrix}. \quad (\text{A-5})$$

Velocidade do referencial 3 em relação 2, no sistema de coordenadas 3.

$${}^3({}_3\omega_2) = \begin{bmatrix} \dot{\theta} \\ 0 \\ 0 \end{bmatrix}. \quad (\text{A-6})$$

Velocidade angular do corpo em relação ao referencial inercial, escrito no sistema de coordenadas 3:

$${}^3({}_3\omega_0) = {}^3({}_2\omega_1) + {}^3({}_3\omega_2) + {}^3(\omega_3) \quad (\text{A-7})$$

$${}^3({}_3\omega_0) = ({}^3T_2)({}^2T_1) {}^1({}_1\omega_0) + ({}^3T_2) {}^2({}_2\omega_1) + {}^3({}_2\omega_3). \quad (\text{A-8})$$

Utilizando-se do MATLAB<sup>®</sup> para o cálculo, pode-se escrever:

$${}^3({}_3\omega_0) = \begin{bmatrix} \dot{\theta} - \text{sen}(\alpha)\dot{\beta} \\ \text{sen}(\theta)\text{cos}(\alpha)\dot{\beta} + \text{cos}(\theta)\dot{\alpha} \\ \text{cos}(\theta)\text{cos}(\alpha)\dot{\beta} - \text{sen}(\theta)\dot{\alpha} \end{bmatrix}. \quad (\text{A-9})$$

### A.1.2 Energia Cinética

Considere-se o referencial vinculado ao corpo, isto é o rotor (referencial 3), de maneiras que o eixo coincida com os eixos principais devido à simetria do rotor, então:

$$[\text{Inertia}] = \begin{bmatrix} I_p & 0 & 0 \\ 0 & I & 0 \\ 0 & 0 & I \end{bmatrix}. \quad (\text{A-10})$$

Onde  $I_p$  é o momento polar de inércia do rotor e  $I$  momento diametral de inercia.

$$T = {}^3({}_3\omega_0)^T [\text{Inertia}] {}^3({}_3\omega_0). \quad (\text{A-11})$$

Utilizando-se do MATLAB<sup>®</sup> para calcular:

$$T = \frac{1}{2}I_p(\dot{\beta}^2 - \dot{\beta}^2\text{cos}(\alpha)^2 - 2\text{sen}(\alpha)\dot{\beta}\dot{\theta} + \dot{\theta}^2) + \frac{1}{2}I(\text{cos}(\alpha)^2\dot{\beta}^2 + \dot{\alpha}^2). \quad (\text{A-12})$$

Simplificam-se as equação acima pressupondo-se pequenas rotações:  $\alpha$  e  $\beta \Rightarrow \text{sen}(\alpha) \sim \alpha$ ,  $\text{sen}(\beta) \sim \beta$ ,  $\text{cos}(\alpha) \sim 1$ , e  $\text{cos}(\beta) \sim 1$ .

A energia cinética então pode ser escrita como:

$$T = \frac{1}{2}I_p(\dot{\theta}^2 - 2\dot{\theta}\alpha\dot{\beta}) + \frac{1}{2}I(\dot{\beta}^2 + \dot{\alpha}^2). \quad (\text{A-13})$$

## A.2

### Funções de Forma - Modelo da Viga de Timoshenko

Formulação da viga de Timoshenko:

$$GAK_s(-\theta'(x) - w''(x)) = 0,$$

$$GAK_s(\theta(x) + w'(x)) - EI\theta''(x) = 0. \quad (\text{A-14})$$

Os graus de liberdade são vistos na figura A.2.

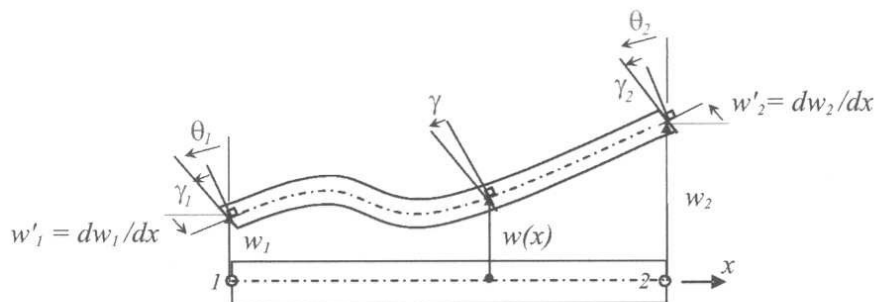


Figura A.2: Graus de liberdade de um elemento de viga

Observar que o ângulo de cisalhamento é  $\gamma = \theta - dw/dx$ . Neste modelo a seção transversal de área permanece plana, mas não necessariamente perpendicular a linha neutra. Considerando-se o material homogêneo-isotrópico com densidade  $\rho$ , módulo de elasticidade  $E$ , módulo de cisalhamento  $G$ , fator de cisalhamento  $k_s$ ; e a viga com propriedades geométricas  $A$  (área de seção transversal) e  $I$  (momento de inércia). O deslocamento vertical é dado por  $w$  e  $f$  é a força externa.

A relação entre as coordenadas do elemento e as coordenadas é dada por:  $\xi = x/l$ , onde  $l$  é o tamanho do elemento. A equação será escrita em coordenadas do elemento, desta forma as derivadas devem ser calculadas da seguinte maneira:

$$\frac{dw(x)}{dx} = \frac{dw(\xi)}{d\xi} \frac{d\xi}{dx} = w'(\xi) \frac{1}{l} \quad (\text{A-15})$$

and

$$\frac{d^2w(x)}{dx^2} = \frac{d}{dx} \left( \frac{dw(x)}{dx} \right). \quad (\text{A-16})$$

Utilizando-se o resultado da primeira derivada, têm-se:

$$\frac{d^2w(x)}{dx^2} = w'(\xi) \underbrace{\frac{d}{dx} \left( \frac{1}{l} \right)}_{=0} + \left( \frac{d^2w(\xi)}{d\xi^2} \frac{d\xi}{dx} \right) \left( \frac{1}{l} \right) = w''(\xi) \frac{1}{l^2}. \quad (\text{A-17})$$

O mesmo ocorre para  $\theta(x)$ :  $\frac{d\theta(x)}{dx} = \theta'(\xi) \frac{1}{l}$  e  $\frac{d^2\theta(x)}{dx^2} = \theta''(\xi) \frac{1}{l^2}$ .

Então a Eq. (A-14) pode ser reescrita como:

$$\frac{GAK_s(-l\theta'(\xi) - w''(\xi))}{l^2} = 0,$$

$$\frac{GAK_s(l\theta(\xi) + w'(\xi))}{l} - \frac{EI\theta''(\xi)}{l^2} = 0. \quad (\text{A-18})$$

$w$  e  $\theta$  serão representados como:

$$\begin{pmatrix} w \\ \theta \end{pmatrix} = \begin{pmatrix} h_{11} & h_{12} & h_{13} & h_{14} \\ h_{21} & h_{22} & h_{23} & h_{24} \end{pmatrix} \begin{pmatrix} w_1 \\ \theta_1 \\ w_2 \\ \theta_2 \end{pmatrix}. \quad (\text{A-19})$$

As condições de contorno podem ser escritas como:

$$w(0) = w_1 \quad w(1) = w_2 \quad \theta(0) = \theta_1 \quad \theta(1) = \theta_2. \quad (\text{A-20})$$

Introduzindo a Eq. (A-20) na Eq. (A-18), e usando-se o MATLAB<sup>®</sup> para os cálculos:

$$w(\xi) = \frac{1}{12EI + GAK_sl^2} [(12EI - 12EI\xi + GAK_sl^2 - 3GAK_s\xi^2l^2 + 2GAK_s\xi^3l^2)w_1$$

$$(12EI\xi + 3GAK_s\xi^2l^2 + 2GAK_s\xi^3l^2)w_2$$

$$(-6EI\xi l + 6EI\xi^2l - GAK_s\xi l^3 + 2GAK_s\xi^2l^3 - GAK_s\xi^3l^3)\theta_1$$

$$(6EI\xi l - 6EI\xi^2l + GAK_s\xi^2l^3 - GAK_s\xi^3l^3)\theta_2], \quad (\text{A-21})$$

$$\theta(\xi) = \frac{1}{12EI + GAK_sl^2} [(GAK_s\xi l - GAK_s\xi^2l)w_1 + (-GAK_s\xi l + GAK_s\xi^2l)w_2$$



$$(12EI - 12EI\xi + GAk_s l^2 - GAk_s \xi l^2 + 3GAk_s \xi^2 l^2)\theta_1 \quad (\text{A-22})$$

$$(12EI\xi - 2GAk_s \xi l^2 + 3GAk_s \xi^2 l^2)\theta_2] . \quad (\text{A-23})$$

Definindo-se:

$$\varphi = \frac{12EI}{GAk_s l^2} . \quad (\text{A-24})$$

Então:

$$\frac{12EI}{12EI + GAk_s l^2} = \frac{\varphi}{1 + \varphi} \quad \text{e} \quad \frac{GAk_s l^2}{12EI + GAk_s l^2} = \frac{1}{1 + \varphi} . \quad (\text{A-25})$$

As funções de forma são dadas por:

$$h_{11} = \frac{1}{1 + \varphi} (1 - 3\xi^2 + 2\xi^3 + \varphi(1 - \xi)) , \quad (\text{A-26})$$

$$h_{12} = \frac{l}{1 + \varphi} \left( -\xi + 2\xi^2 - \xi^3 + \frac{\varphi}{2} (\xi + \xi^2) \right) , \quad (\text{A-27})$$

$$h_{13} = \frac{1}{1 + \varphi} (3\xi^2 - 2\xi^3 + \varphi\xi) , \quad (\text{A-28})$$

$$h_{14} = \frac{l}{1 + \varphi} \left( \xi^2 - \xi^3 + \frac{\varphi}{2} (\xi - \xi^2) \right) , \quad (\text{A-29})$$

$$h_{21} = \frac{1}{(1 + \varphi)l} (6\xi - 6\xi^2) , \quad (\text{A-30})$$

$$h_{22} = \frac{1}{1 + \varphi} (1 - 4\xi + 3\xi^2 + \varphi(1 - \xi)) , \quad (\text{A-31})$$

$$h_{23} = \frac{1}{(1 + \varphi)l} (-6\xi + 6\xi^2) , \quad (\text{A-32})$$

$$h_{24} = \frac{1}{1 + \varphi} (-2\xi + 3\xi^2 + \varphi\xi) . \quad (\text{A-33})$$

Observar que se  $\varphi = 0$ , as funções  $h_{11}, h_{12}, h_{13}$  e  $h_{14}$  serão funções de Hermite, então os elementos da matriz serão os mesmos para o modelo de Euler-Bernoulli. Esta função de forma são mostradas na Fig. A.3 para  $\varphi = 10^{-4}$ .

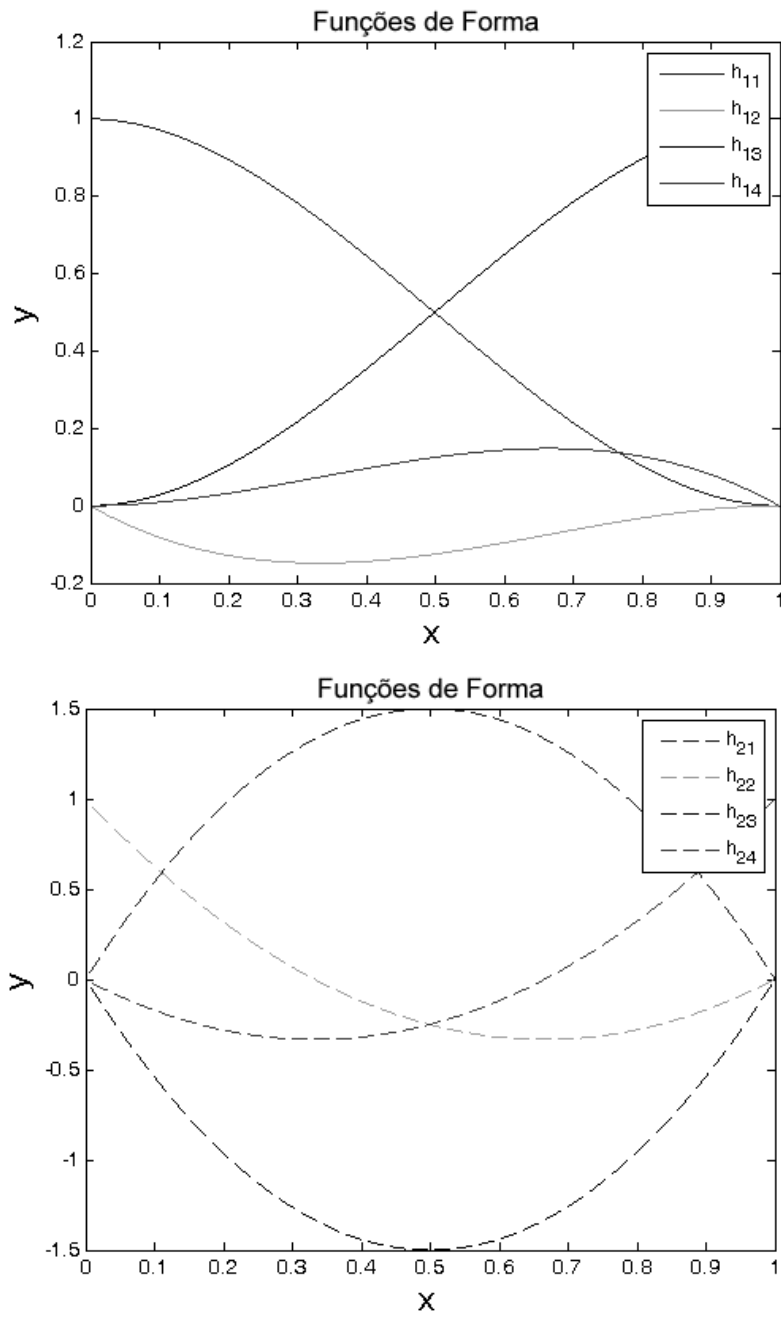


Figura A.3: Funções de forma para um elemento de viga de Timoshenko.

### A.3 Modelo Simplificado de Rotor

O problema industrial descrito no capítulo 2 deve ser analisado de uma forma que se aplique um modelo numérico que possa modelar o problema industrial do compressor *bp*, figura 2.10. Considere-se o caso mais simples de simulação numérica, que é o modelo do rotor de Laval, sobre o que se discorrerá.

O modelo de rotor estudado, chamado de Laval em homenagem ao brilhante engenheiro sueco que o propôs ao fim do século *XIX*, é de um rotor bi-apoiado, com as seguintes características:

- Massa concentrada no impelidor;
- Eixo de massa desprezível, mas dotado de elasticidade, suposta linear, caracterizado pela rigidez  $k$ , que gira a uma rotação de  $\omega$  em na direção  $z$ .
- Impelidor gira sobre seu próprio centro ( $\Omega$ ) e orbita em relação à linha de centro dos apoios (mancais).
- O centro de massa  $G$  não coincide como centro geométrico do disco  $O$  (**desbalanceamento**).
- A excentricidade  $e$  é o módulo do vetor  $\overrightarrow{OG}$ .
- $x$  e  $y$  são as coordenadas do centro do disco  $O$  em relação ao sistema fixo,  $x - y$ , com eixo  $z$  passando pelo centro dos mancais .

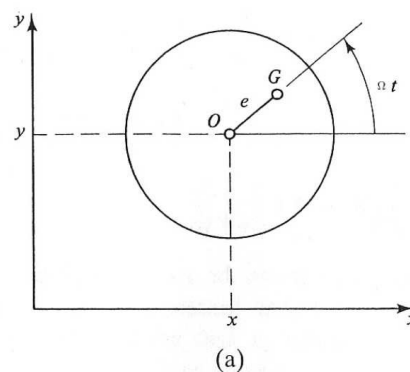
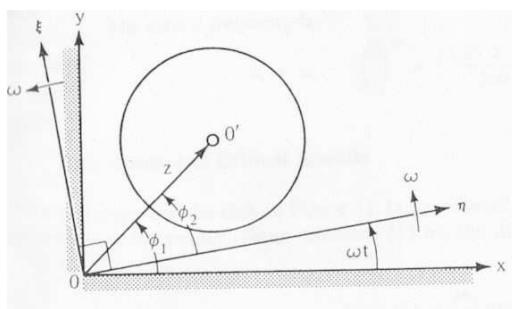


Figura A.4: Referencial Móvel  $\xi \times \eta$

Considere-se inicialmente o rotor rígido, com o eixo  $z$  perpendicular ao impelidor (sem considerar o efeito giroscópico), ou seja, o movimento com apenas dois graus de liberdade.

As coordenadas do centro de massa  $G$  são:

$$\begin{cases} x + e \cos \Omega t \\ y + e \sin \Omega t \end{cases}$$

Aplicando a Lei de Newton ao movimento, para  $\frac{d\phi}{dt} = \Omega$ , obtém-se:

$$\begin{cases} m \frac{d^2(x+e \cos \Omega t)}{dt^2} + kx = 0 \\ m \frac{d^2(y+e \sin \Omega t)}{dt^2} + ky = 0 \\ J\ddot{\phi} = 0 \end{cases} \quad (\text{A-34})$$

Observa-se da equação A-34 que as equações não são acopladas e não dependem da coordenada angular  $\phi$  se  $\dot{\phi} = \Omega$  é constante. A equação do movimento A-34 pode ser deduzida das equações de energia, utilizando-se a equação de Lagrange.

A **Equação de Lagrange do movimento** A-35 é dada de forma mais geral por:

$$\frac{d}{dt} \left( \frac{\partial T}{\partial \dot{q}_k} \right) - \frac{\partial T}{\partial q_k} = Q_k, k = 1, 2, \dots, n \quad (\text{A-35})$$

e observa-se que  $Q_k$  corresponde a forças generalizadas tanto conservativas quanto não-conservativas.

É comum se distinguir entre forças conservativas e não-conservativas, ou,

$$Q_k = Q_{kc} + Q_{knc}, k = 1, 2, \dots, n \quad (\text{A-36})$$

Relembrando-se que a energia potencial depende apenas das coordenadas, pode-se escrever:

$$\delta W_c = -\delta V = -\sum_{k=1}^n \frac{\partial V}{\partial q_k} \delta q_k = \sum_{k=1}^n Q_{kc} \delta q_k \quad (\text{A-37})$$

de maneiras que as forças conservativas generalizadas tem a seguinte forma

$$Q_{kc} = -\frac{\partial V}{\partial q_k}, k = 1, 2, \dots, n \quad (\text{A-38})$$

Introduzindo-se a equação A-36 e a equação A-38 na equação A-35 obtém-se

$$\frac{d}{dt} \left( \frac{\partial T}{\partial \dot{q}_k} \right) - \frac{\partial T}{\partial q_k} + \frac{\partial V}{\partial q_k} = Q_{knc}, k = 1, 2, \dots, n \quad (\text{A-39})$$

e finalmente como a energia potencial não depende das velocidades a equação A-39 pode ser escrita na forma:

$$\frac{d}{dt} \left( \frac{\partial L}{\partial \dot{q}_k} \right) - \frac{\partial L}{\partial q_k} = Q_{knc}, k = 1, 2, \dots, n \quad (\text{A-40})$$

onde  $\mathbf{L} = \mathbf{T} - \mathbf{V}$  é o Lagrangiano.

Considerando-se as premissas de que no movimento não se consideram forças não-conservativas, a equação de Lagrange aplicada ao movimento do rotor de Laval A.3 rígido é dada considerando-se:

- Energia Cinética e Potencial associadas ao movimento, em relação às coordenadas do referencial estacionário, sendo  $\omega$  a rotação do centro do impelidor em relação ao sistema fixo  $x - y - z$ :

$$\begin{cases} T = \frac{1}{2}m \left[ \frac{d(x+e \cos \Omega t)}{dt} \right]^2 + \frac{1}{2}m \left[ \frac{d(y+e \sin \Omega t)}{dt} \right]^2 + \frac{1}{2}J\omega^2 \\ V = \frac{1}{2}kx^2 + \frac{1}{2}ky^2 \end{cases}$$

Aplicando-se a Equação de Lagrange para  $x, y$  e  $\phi$  chega-se a (para  $\dot{\phi} = \Omega$ ):

$$\begin{cases} \frac{d}{dt} \left[ \frac{\partial}{\partial \dot{x}} (T - V) \right] - \frac{\partial}{\partial x} (T - V) = m \frac{d^2(x+e \cos \Omega t)}{dt^2} + kx = 0 \\ \frac{d}{dt} \left[ \frac{\partial}{\partial \dot{y}} (T - V) \right] - \frac{\partial}{\partial y} (T - V) = m \frac{d^2(y+e \sin \Omega t)}{dt^2} + ky = 0 \\ \frac{d}{dt} \left[ \frac{\partial}{\partial \dot{\phi}} (T - V) \right] - \frac{\partial}{\partial \phi} (T - V) = \frac{d}{dt} [J\omega] = 0 \end{cases} \quad (\text{A-41})$$

As primeiras equações de A-34 e A-41 são idênticas, equanto as últimas simplesmente implica que  $\omega = \Omega$ , a velocidade de rotação constante. Desta forma o movimento radial do disco independe do movimento em relação ao eixo  $z$ , sob as premissas assumidas.

### Representação Polar e Precessão

Multiplicando-se a segunda equação de A-34 por  $i = (-1)^{\frac{1}{2}}$  e adicionando-a à segunda, obtém-se:

$$m(\ddot{x} + i\ddot{y}) + k(x + iy) = me\Omega^2 e^{i\Omega t} \quad (\text{A-42})$$

Introduzindo-se  $r = x + iy$ , pode-se escrever:

$$m\ddot{r} + kr = me\Omega^2 e^{i\Omega t} \quad (\text{A-43})$$

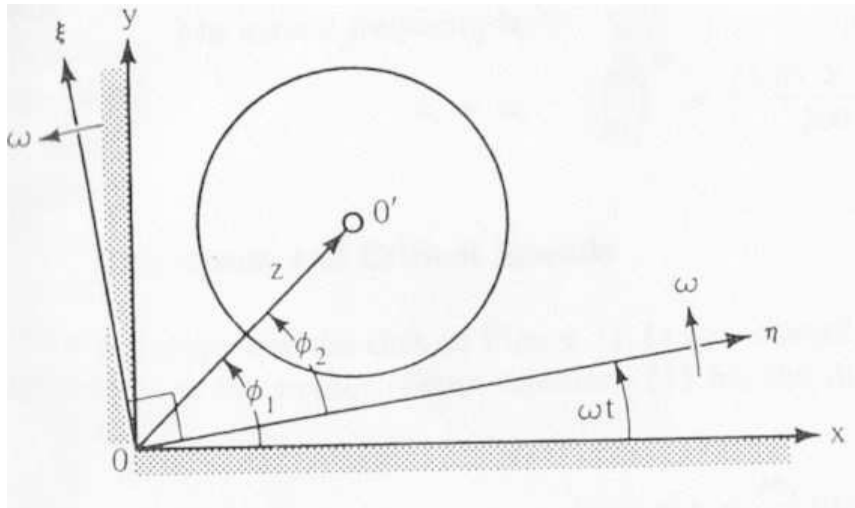


Figura A.5: Sistema de coordenadas estacionário e móvel

Para se entender o significado físico da quantidade  $r$  considera-se um sistema de coordenadas  $(x, iy)$  no plano do disco com sua origem no centro do disco na posição de equilíbrio estático. Se o centro do disco é deslocado da posição de equilíbrio de  $x$  e  $y$ ,  $r = x + iy$ , o raio  $r$  representa o vetor  $\overrightarrow{OO'}$  da figura A.3, se se considera o plano  $x - iy$  como o plano complexo. Uma vantagem da equação A-43 é que o número de equações que descreve o movimento é dividida por dois, mas, em contrapartida opera-se com números complexos.

Considere-se o sistema móvel  $(\eta, \xi)$ , figura A.3, que gira a uma rotação constante  $\omega = \Omega$  em relação a  $O$ . Seja o número complexo  $\zeta$  a distância entre  $\overrightarrow{OO'}$  medida no referencial móvel, dada pelas seguintes coordenadas:

$$\zeta = \eta + i\xi \quad (\text{A-44})$$

Entre  $r$  e  $\zeta$  existe a seguinte relação:

$$r = \zeta e^{i\Omega t} \quad (\text{A-45})$$

$$\zeta = r e^{-i\Omega t} \quad (\text{A-46})$$

Sendo  $\mathbf{R}$  o comprimento do vetor  $\overrightarrow{OO'}$  suas coordenadas polares em

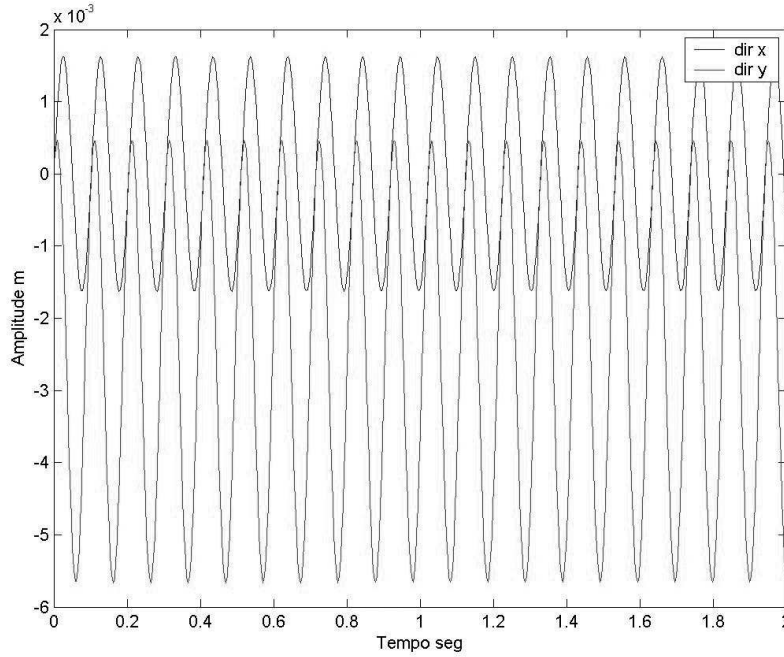


Figura A.6: Simulação do Rotor de Laval

ambos sistemas de coordenadas são:

$$r = \mathbf{R}e^{i\phi_1}, \zeta = \mathbf{R}e^{i\phi_2} \quad (\text{A-47})$$

$$\frac{r}{\zeta} = e^{i(\phi_1 - \phi_2)} = e^{i\Omega t}. \quad (\text{A-48})$$

Em termos do sistema móvel de coordenadas, a equação A-43 pode ser escrita como:

$$m(\ddot{\zeta} + 2i\Omega\dot{\zeta} - \Omega^2\zeta)e^{i\Omega t} + k\zeta e^{i\Omega t} = m\epsilon\Omega^2 e^{i\Omega t} \quad (\text{A-49})$$

Sabendo-se que  $\sqrt{\frac{k}{m}} = \omega_n$ , a primeira frequência natural do sistema, e dividindo-se a equação A-49 por  $m\epsilon e^{i\Omega t}$ , obtém-se a equação do movimento no sistema de coordenadas móveis:

$$\ddot{\zeta} + 2i\Omega\dot{\zeta} + (\omega_n^2 - \Omega^2)\zeta = \epsilon\Omega^2 \quad (\text{A-50})$$

Dinâmica do rotor de "de Laval", sem dissipação de energia, na figura A.3 é um mero sistema massa-mola com dois graus de liberdade.

**Limitações do Modelo de Laval**

- O modelo "de Laval" nem sequer representa os esforços axiais sobre mancais axial (de escora) do compressor.
- O modelo não considera a massa do eixo na dinâmica do rotor nem as variações geométricas e físicas das secções transversais ao longo do rotor.
- O modelo separa rigidez de massa;
- O problema observado não poderia sequer ser abordado no modelo simplificado "de Laval", uma vez que a posição do defeito se localizava num ponto sem massa, nem considerada na formulação do modelo.